

ИСПОЛЬЗОВАНИЕ ЛАЗЕРНОГО ИЗЛУЧЕНИЯ  
МИКРОСЕКУНДНОЙ ДЛИТЕЛЬНОСТИ  
ДЛЯ НАПЫЛЕНИЯ АЛМАЗОПОДОБНЫХ УГЛЕРОДНЫХ ПЛЕНОК

Ю.А. Быковский, В.П. Козленков,  
И.Н. Николаев, Е.В. Чарышкин

Углеродные пленки с алмазоподобными свойствами находят применение в технике преимущественно как просветляющие и защитные покрытия. Последние исследования в области микроэлектроники свидетельствуют о возможности их применения в МДП-структурных в качестве диэлектрических слоев [1].

В настоящее время одним из распространенных методов получения алмазоподобных пленок является осаждение из ионных пучков. Считается [2], что минимальная энергия ионов, необходимая для образования алмазоподобных пленок, составляет 10 эВ. Однако конденсаты, полученные в энергетическом интервале ионов 30–100 эВ, обычно представляют собой структурно неоднородную мелкодисперсию основу с включениями кристаллитов различных аллотропических модификаций углерода. Одной из причин указанных неоднородностей является, по-видимому, локальный перегрев растущей пленки за счет быстрых ионов. В связи с этим для формирования однородных алмазоподобных пленок представляет интерес использовать потоки частиц с энергиями, меньшими 10 эВ, но достаточными для образования „алмазной“ химической связи между атомами углерода. Для этой цели удобно использовать лазерное испарение вещества, при котором энергию испаренных атомов (ионов) можно регулировать за-данием режима излучения лазера.

В данной работе осаждение углеродных пленок производилось методом частотного лазерного напыления [3]. Использовался лазер на алюмоиттриевом гранате с непрерывной накачкой и периодической модуляцией добротности; длительность импульса составляла 0.2 мкс [4]. При такой длительности лазерных импульсов интенсивное испарение углеродной мишени можно осуществить вблизи порога ионизации пара, что позволяет избежать образования высокоэнергетичных частиц. Плотность потока энергии лазерного излучения на поверхности мишени составляла  $3 \cdot 10^7$  Вт/см<sup>2</sup>. Поскольку порог ионизации, определенный нами методом коллекторного измерения ионного тока, был равен  $7 \cdot 10^7$  Вт/см<sup>2</sup>, то испаренное вещество состояло в основном из нейтральных частиц. При данных плотностях потока максимум энергетического распределения частиц приходится на значение  $\sim 2$  эВ [5].

Мишенью служили пластины графита с содержанием углерода 99.99%. Пленки толщиной 0.05–0.5 мкм осаждались на подложки  $NaCl$  и стекло.

Электронно-микроскопические исследования показали, что осажденные пленки имеют аморфную однородную структуру без каких-

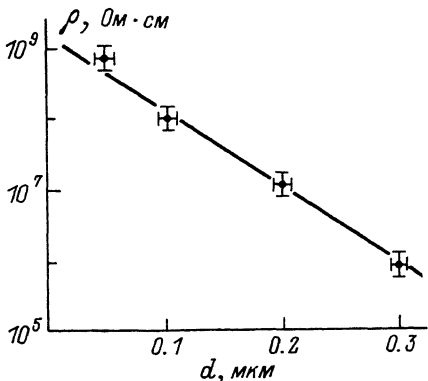


Рис. 1. Зависимость удельного электросопротивления алмазоподобных пленок от их толщины.

либо кристаллических включений с размерами, большими  $10 \text{ \AA}$ . При комнатной температуре удельное сопротивление ( $\rho$ ) образцов толщиной  $d = 0.05 \text{ мкм}$  составляло  $1 \cdot 10^9 \text{ Ом см}$ . Увеличение толщины пленок приводит к уменьшению  $\rho$ ; при  $d = 0.3 \text{ мкм}$  удельное сопротивление составляет  $6 \cdot 10^6 \text{ Ом см}$  (рис. 1).

Оптические свойства пленок изучались на спектрофотометре „Hitachi - 330“. В диапазоне длин волн  $\lambda = 200\text{--}900 \text{ нм}$  были сняты кривые пропускания и отражения для пленок толщиной 0.05 и 0.5 мкм (рис. 2). Истинное пропускание определялось как отношение пропускания пленки с подложкой к пропусканию эталонной чистой подложки. Как видно из рис. 2, наблюдается монотонное увеличение пропускания с ростом длины волны. Область собственного поглощения для образцов с  $d = 0.05 \text{ мкм}$  начинает проявляться при  $\lambda = 500 \text{ нм}$ , что характерно для природных окрашенных алмазов [6]. Фундаментальная граница поглощения, определенная по спаду пропускания в 2 раза, для образцов с  $d = 0.05 \text{ мкм}$  составляет 260 нм.

Из спектров пропускания и отражения определялся показатель поглощения  $\alpha$ . Наименьшее значение  $\alpha = 1.4 \cdot 10^4 \text{ см}^{-1}$  ( $\lambda = 600 \text{ нм}$ ) было получено для пленок с  $d = 0.05 \text{ мкм}$ . Оптическая ширина запрещенной зоны,  $E_{\text{опт}}$ , определялась построением кривой  $(\alpha \cdot E)^{1/2}$  в зависимости от энергии кванта и оказалась равной 2.3 эВ.

Представляет интерес сравнить свойства полученных нами алмазоподобных пленок со свойствами пленок, осажденных с помощью ионных пучков. По величине  $\rho$  лазерные пленки несколько уступают, а по величине  $E_{\text{опт}}$ , коэффициенту пропускания и однородности состава превосходят пленки, полученные осаждением из ионных пучков [7]. Последнее из перечисленных преимуществ является очень важным для разнообразных применений алмазоподобных пленок, позволяющий понизить энергию осаждаемых частиц и тем

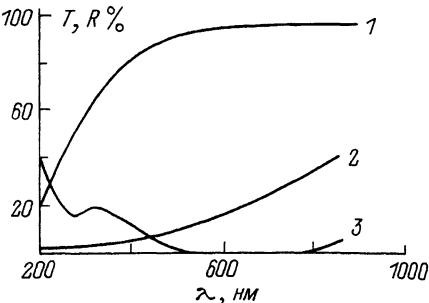


Рис. 2. Спектры пропускания (1, 2) и отражения (3) алмазоподобных пленок. 1, 3 – толщина 0.05 мкм, 2 – толщина 0.5 мкм.

самым улучшить степень однородности состава пленок, в ряде случаев может быть предпочтительнее других методов напыления благодаря своей технологичности.

## Л и т е р а т у р а

- [1] Oh J.E., Lomb J.D., Shyder G., Paul, William J.A., Liu D.C. - Solid State Electronics, 1986, v. 29, N 9, p. 933-940.
- [2] Чайковский Э.Ф., Пузиков В.М., Розенберг Г.Х., Семенов А.В., Костенко А.Б. - Поверхность, 1985, № 9, с. 98-103.
- [3] Rompe W., Scheibe H.-J., Richter A., Bauer H.-D., Bewilogua K., Weissmantel C. - Thin Solid Films, 1986, v. 144, p. 77-92.
- [4] Быковский Ю.А., Дудоладов А.Г., Коэленков В.П. - Письма в ЖТФ, 1985, т. 11, в. 21, с. 1307-1311.
- [5] Быковский Ю.А., Сильнов С.М., Сотников Е.А., Шестаков Б.А. - ЖЭТФ, 1987, т. 93, в. 28, с. 500-508.
- [6] Федосеев Д.В., Новиков Н.В., Вишневский А.С., Теремицкая И.Г. Алмаз. К.: Наукова думка, 1981. 75 с.
- [7] Иванова Н.Л., Голянов В.М., Долгий Д.И. ЖПС, 1984, т. 41, № 1, с. 134-138.

Московский инженерно-физический  
институт

Поступило в Редакцию  
20 сентября 1988 г.

Письма в ЖТФ, том 14, вып. 24

26 декабря 1988 г.

## О ВОЗМОЖНОСТИ УВЕЛИЧЕНИЯ КОНТРАСТА ИЗОБРАЖЕНИЙ ПРИ ИХ НЕСТАЦИОНАРНОМ УСИЛЕНИИ ДИНАМИЧЕСКИМИ ГОЛОГРАММАМИ

А.М. Б е р е з и н с к а я, А.М. Д у х о в н ы й

Возможность эффективного нестационарного взаимодействия между световыми пучками одинаковой частоты излучения в динамической голограмме (ДГ), записанной в нелинейной среде с локальным откликом, может приводить к существенному росту уровня шумов в преобразованном изображении и к снижению его контраста [1]. В этой связи представляет интерес выявление условий, при которых в процессе нестационарного усиления изображений не снижается или